

УДК 539.3:534.1

ОПТИМАЛЬНОЕ ТОРМОЖЕНИЕ ТВЕРДОГО ТЕЛА  
НЕОДНОРОДНОЙ ПЛАСТИНОЙ ПРИ УДАРЕ ПО НОРМАЛИ

АПТУКОВ В. Н., ПЕТРУХИН Г. И., ПОЗДЕЕВ А. А.

Постановка задачи поиска механических характеристик неоднородной пластины, сформулированной в терминах теории оптимального управления, впервые была выполнена в работе [1]<sup>1</sup>, где с использованием принципа максимума Понтрягина получена оптимальная структура пластины минимальной толщины при заданном погонном весе. Значительно больший интерес представляет задача поиска оптимального распределения механических характеристик неоднородной пластины минимального погонного веса. В публикуемой работе получены критерии оптимальной структуры таких пластин при ударе твердого тела различной формы.

1. Описание процесса динамического внедрения жесткого осесимметричного тела в пластину при средних скоростях удара может основываться на эмпирической зависимости удельного сопротивления внедрению  $p$  от параметров удара [2, 3]:

$$p = H_d + k\rho v^2 \quad (1.1)$$

где  $H_d$  — динамическая твердость и плотность материала преграды,  $k$  — коэффициент формы головной части ударника,  $v$  — текущая скорость ударника.

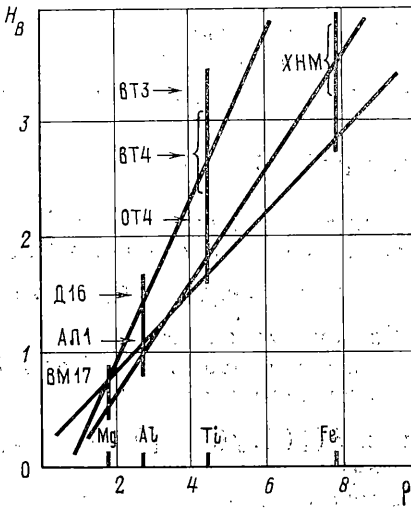
В случае произвольного распределения плотности  $\rho(x)$  и динамической твердости  $H_d(x)$  по толщине уравнение движения ударника массы  $M$  имеет вид [1]:

$$\frac{1}{2} M \frac{d(v^2)}{dL} = -2\pi \int_0^L \left\{ H_d(x) + \frac{[r'(\xi)]^2}{1+[r'(\xi)]^2} \rho(x) v^2(L) \right\} r(\xi) r'(\xi) d\xi \quad (1.2)$$

где  $L$  — текущая глубина внедрения ударника,  $r(\xi)$  — уравнение образующей осесимметричного ударника,  $\xi = L - x$  — координата, отчитывающаяся от конца ударника.

Для большинства макромоногенных конструкционных материалов наблюдается прямая корреляция между плотностью и твердостью. На фиг. 1 вертикальными линиями показаны интервалы изменения твердости по

<sup>1</sup> Аптуков В. Н. Взаимодействие ударника с преградой как игровая ситуация.— В кн.: Аннот. докл. 5-го Всесоюзн. съезда по теор. и прикл. механике. Алма-Ата: Наука, 1981, с. 29.



Фиг. 1

Бринелю  $H_B$  (ГПа) для различных сплавов на основе магния, алюминия, титана и сталей и указаны конкретные марки сплавов [4]. По оси абсцисс отложены соответствующие значения плотности  $\rho$  ( $10^{-3} \times \text{кг}/\text{м}^3$ ). Аппроксимируя эту связь линейной (наклонные линии на фиг. 1):

$$H_d(x) = A\rho(x) + B, \quad A = (H_2 - H_1) / (\rho_2 - \rho_1) \quad (1.3)$$

$$B = (H_1\rho_2 - H_2\rho_1) / (\rho_2 - \rho_1)$$

$$(\rho_1 \leq \rho(x) \leq \rho_2) \quad (H_1(\rho_1) \leq H_d(x) \leq H_2(\rho_2))$$

преобразуем уравнение (1.2) к виду

$$\frac{1}{2} M \frac{d(v^2)}{dL} = -2\pi \int_0^L \left\{ B + \rho(x) \left[ A + \frac{[r'(\xi)]^2}{1+[r'(\xi)]^2} v^2(L) \right] \right\} r(\xi) r'(\xi) d\xi \quad (1.4)$$

Критерием качества управляющей функции  $\rho(x)$  является погонный вес пластины

$$I = \min \left\{ \int_0^{L_k} \rho(x) dx \right\} \quad (1.5)$$

где  $L_k$  — нефиксированная конечная глубина внедрения, при которой  $v=0$ .

2. В случае ударного внедрения цилиндра с плоским торцом уравнение (1.4) значительно упрощается. Сформулируем задачу в терминах теории оптимального управления ( $y^1 = v^2$  — фазовая координата,  $t=L$  — аналог времени,  $S$  — площадь поперечного сечения цилиндра):

$$dy^1/dt = -E[\rho(A+y^1)+B], \quad E=2M/S \quad (2.1)$$

Итак, имеем автономную задачу (2.1) с закрепленным левым концом траектории  $y^1|_{t=0}=v_0^2$  и свободным правым концом  $y^1|_{t=t_k}=0$  ( $t_k$  — нефиксированное время окончания процесса). Управление  $\rho(t)$  с ограничениями  $\rho_1 \leq \rho(t) \leq \rho_2$  ищется из условия минимума функционала

$\int_0^{t_k} \rho(\tau) d\tau$  Гамильтониан системы (2.1):  $h=\psi_0\rho-\psi_1 E[\rho(A+y^1)+B]$ . Сопряженные переменные  $\psi_0, \psi_1$  задаются уравнениями

$$d\psi_0/dt = -\partial h/\partial y^0 = 0, \quad d\psi_1/dt = -\partial h/\partial y^1 = E\rho\psi_1 \quad (2.2)$$

Для оптимальности процесса  $(\rho_0(t), y_0(t))$  необходимо существование таких нетривиальных константы  $\psi_0 \leq 0$  и функции  $\psi_1(t)$ , чтобы выполнилось условие максимума [5]:

$$\max_{\rho_1 \leq \rho \leq \rho_2} h(\psi(t), y(t), t, \rho) = h(\psi(t), y(t), t, \rho_0(t)), \quad \psi = \{\psi_0, \psi_1\}, \quad y = \{y^0, y^1\}$$

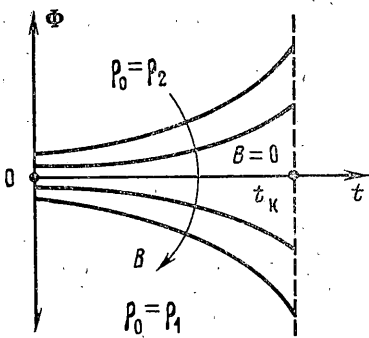
и условие трансверсальности

$$h(\psi(t_k), y(t_k), t_k, \rho_0(t_k)) = 0 \quad (2.4)$$

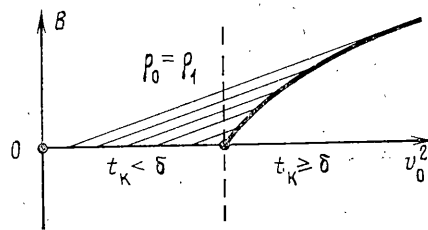
Последнее условие с учетом выражения для  $h$  и зависимости  $\psi_1 = -C_1 \exp(E \int_0^{t_k} \rho d\tau)$  ( $0 \leq \tau \leq t$ ) (см. уравнение (2.2)) дает связь между постоянными  $\psi_0$  и  $C_1$ :

$$\psi_0 \rho_k - C_1 E(B + A \rho_k) \exp\left(E \int_0^{t_k} \rho_0 d\tau\right) = 0, \quad \rho_k = \rho_0(t_k)$$

Представим функцию  $h$  (поделенную на положительную постоянную —  $\psi_0$ , случай  $\psi_0=0$  исключается, так как при этом  $C_1=0, \psi_1=0$  и на-



Фиг. 2.



Фиг. 3.

рушаются необходимые условия принципа максимума) в виде

$$h = \rho_0 \Phi + B \Phi_2, \quad \Phi = -1 + \rho_h \frac{A + y^4}{B + A \rho_h} \exp \left( -E \int_{t_0}^{t_k} \rho_0 d\tau \right) \quad (2.5)$$

Поскольку  $h$  зависит от  $\rho_0$  линейно, оптимальное управление достигается на границах области допустимых управлений

$$\rho_0 = \rho_2 \text{ при } \Phi > 0, \quad \rho_0 = \rho_1 \text{ при } \Phi < 0 \quad (2.6)$$

Выясним условия, определяющие знак функции  $\Phi(t)$  на сегменте  $[0, t_k]$ . С учетом второго уравнения системы (2.1) нетрудно показать, что

$$d\Phi/dt \sim -B \quad (2.7)$$

Знак функции  $\Phi$  в конечный момент времени также определяется знаком постоянной  $B$  (см. (2.5)):

$$\Phi(t_k) = -B/(B + A \rho_h) \quad (2.8)$$

Из анализа (2.7) и (2.8) следует, что существует такой интервал  $(t_k, t_k]$ , внутри которого оптимальное управление постоянно  $\rho_0 = \text{const}$   $\forall t \in (t_k, t_k]$ .

Для определения точки переключения управления  $t_*$  (точки, в которой  $\Phi(t_*) = 0$ ) рассмотрим значение  $\Phi(t)$  при  $t=0$ :

$$\Phi_0 = -1 + \frac{\rho_h(A + v_0^2)}{B + A \rho_h} \exp \left( -E \int_0^{t_k} \rho_0 d\tau \right) \quad (2.9)$$

Будем искать условия существования постоянного оптимального управления  $\rho_0 = \rho_h = \text{const}$ , при котором  $t_* \notin [0, t_k]$ . Преобразуем (2.9) с помощью общего решения уравнения движения при  $t=t_k$ ,  $y^1=0$ :

$$\Phi_0 = -B/[B + \rho_h(A + v_0^2)]$$

Поведение функции  $\Phi(t)$  (см. фиг. 2) исключает существование точки переключения на отрезке  $[0, t_k]$ . Таким образом, в области  $B > 0$  оптимальной является однородная легкая пластина  $\rho_0 = \rho_1$ ,  $H_{d0} = H_1$ , а в области  $B < 0$  — однородная тяжелая пластина  $\rho_0 = \rho_2$ ,  $H_{d0} = H_2$ , ( $H_{d0} = B + A \rho_0$ ).

3. В случае ударного внедрения конуса уравнение движения (1.4) преобразуется к виду ( $\alpha$  — угол полурасстояния конуса):

$$\frac{d(v^2)}{dL} = -E \left\{ B \frac{L^2}{2} + (A + k v^2) \int_0^L \rho(x) (L-x) dx \right\}$$

$$E = (4\pi/M) \operatorname{tg}^2 \alpha, \quad k = \sin^2 \alpha$$

Непосредственное применение принципа максимума невозможно, так как правая часть уравнения движения (уравнения для фазовой координаты) содержит в явной форме функционал (1.5), т. е. содержит дополнительную фазовую координату  $y^0$ . При этом сопряженная переменная  $\psi_0$  уже не будет постоянной  $d\psi_0/dt = -\partial h/\partial y^0 \neq 0$ .

Чтобы обойти это затруднение, введем дополнительные фазовые координаты  $y^2, y^3$  так, что основная система уравнений запишется в виде

$$\frac{dy^1}{dt} = -E \left[ B \frac{t^2}{2} + (A + ky^1) y^2 \right], \quad \frac{dy^2}{dt} = y^3, \quad \frac{dy^3}{dt} = \rho \quad (3.1)$$

В начальный момент времени вектор фазовых координат закреплен  $t=0: y^1=v_0^2, y^2=y^3=0$ . Конечное значение вектора  $y_h$  принадлежит гладкому двумерному многообразию  $S_h$  евклидова пространства размерности  $n=3$ :

$$S_h: F_h(y_h^1, y_h^2, y_h^3) = y_h^4 = 0 \quad (3.2)$$

Из условия трансверсальности [5] для вектора сопряженных переменных  $\Psi = \{\psi_1, \psi_2, \psi_3\}$  (условие ортоональности  $\Psi$  к касательной плоскости многообразия  $S_h$ ), следует

$$t=t_h: \quad \psi_2=0, \quad \psi_3=0 \quad (3.3)$$

Принцип максимума [5] формулируется теперь в виде соотношений (2.3), (3.3), условия, аналогичного равенству (2.4), и ограничения  $\psi_0 \leq 0 - \text{const}$ .

Гамильтониан системы имеет вид

$$h = (\psi_0 + \psi_3) \rho - \psi_1 E \left[ B \frac{t^2}{2} + (A + ky^1) y^2 \right] + \psi_2 y^3 \quad (3.4)$$

Сопряженные переменные определяются дифференциальными уравнениями

$$\begin{aligned} d\psi_1/dt &= Eky^2 \psi_1 \\ d\psi_2/dt &= E(A + ky^1) \psi_1, \quad d\psi_3/dt = -\psi_2 \end{aligned} \quad (3.5)$$

Интегрирование уравнений (3.5) совместно с условиями (2.4) и (3.3) дает связь между константами  $\psi_0, C_1, C_2, C_3$ .

Гамильтониан  $h$  представляет собой линейную функцию от  $\rho$  (см. (3.4)) с угловым коэффициентом  $\Phi = \psi_0 + \psi_3$ . Из соотношения (3.3) вытекает, что  $\Phi(t_h) = \psi_0 < 0$ . Следовательно, существует интервал  $(t_*, t_h]$ , в котором оптимальное управление  $\rho_0 = \rho_1$ , т. е. тыльный слой пластины всегда выполнен из более легкого и менее прочного материала. Из анализа полной производной  $d\Phi/dt$  с учетом связей между постоянными  $\psi_0, C_1, C_2$  следует, что функция  $\Phi$  является монотонно убывающей, достигающей отрицательной величины  $\psi_0$  при  $t=t_h$ . Если  $\Phi|_{t=0} < 0$ , то оптимальной является однородная легкая пластина, в противном случае  $\Phi$  будет менять знак при  $t=t_* \in (0, t_h)$ , что соответствует двухслойной пластине с лицевым твердым слоем.

Выявим условия, когда  $\Phi|_{t=0} \leq 0$ , при этом  $\rho_0 = \rho_h = \rho_1$ . Используя общее решение уравнения движения для преобразования выражения  $\Phi|_{t=0}$ , получим

$$\Phi_0 = \frac{C_1 E}{\rho_h} B \int_0^{t_h} \tau \exp \left( E k \rho_1 \frac{\tau^3}{6} \right) d\tau$$

Из связи между постоянными  $\psi_0, C_1$  следует  $C_1 < 0$ , поэтому условие  $\Phi|_{t=0} \leq 0$  выполняется при  $B \geq 0$ . Таким образом, при  $B \geq 0$  оптимальной является однородная легкая пластина  $\rho_0 = \rho_1$  (как и в случае удара цилинда

ром), при  $B < 0$  оптимальная пластина состоит из двух слоев (лицевой слой наиболее твердый  $H_{d0} = H_2$ ,  $\rho_0 = \rho_2$ , тыльный слой  $H_{d0} = H_1$ ,  $\rho_0 = \rho_1$ ). При любых обстоятельствах вблизи тыльной поверхности должен располагаться легкий и мягкий материал  $\rho_1$ ,  $H_1$ .

4. Рассмотрим динамическое внедрение в неоднородную пластину цилиндрического тела с конической головкой высотой  $\delta$ . Система дифференциальных уравнений, описывающих поведение фазовых координат, разбивается в этом случае на две части:

$$\frac{dy^1}{dt} = \begin{cases} -E \left[ \frac{1}{2} B t^2 + (A + k y^1) y^2 \right] & \text{при } t < \delta \\ -E \left[ \frac{1}{2} B \delta^2 + (A + k y^1) y^2 \right] & \text{при } t \geq \delta \end{cases} \quad (4.1)$$

$$\frac{dy^2}{dt} = \begin{cases} y^3 & \text{при } t < \delta \\ y^3 - \delta \rho(t-\delta) & \text{при } t \geq \delta \end{cases} \quad \frac{d\rho}{dt} = \begin{cases} \rho(t) & \text{при } t < \delta \\ \rho(t) - \rho(t-\delta) & \text{при } t \geq \delta \end{cases}$$

Начальное и конечное положение вектора фазовых координат совпадает с соответствующим положением в предыдущей задаче. Несмотря на то что гамильтониан системы (4.1) имеет различный вид:

$$h = (\psi_0 + \psi_3) \rho(t) - \psi_1 E [ \frac{1}{2} B t^2 + (A + k y^1) y^2 ] + \dots \psi_2 y^3 \quad \text{при } t < \delta \quad (4.2)$$

и

$$h = (\psi_0 + \psi_3) \rho(t) - (\delta \psi_2 - \psi_3) \rho(t-\delta) + \psi_2 y^3 - \psi_1 E [ \frac{1}{2} B \delta^2 + (A + k y^1) y^2 ] \quad \text{при } t \geq \delta$$

сопряженные переменные при  $\forall t \in [0, t_k]$  определяются выражениями (3.5). В этой задаче предполагается, что начальное значение скорости  $v_0^2$  таково, что заведомо выполняется условие  $t_k > \delta$ .

Как и ранее, справедлива определенная связь между постоянными  $\psi_0$ ,  $C_1$ ,  $C_2$ ,  $C_3$ , а также соотношения  $h|_{t=t_k} = \psi_0 \rho_k$  (откуда следует  $\rho_k = \rho_1$ ):

$$\frac{d\Phi}{dt} \Big|_{t=0} = -C_2 < 0, \quad \frac{d\Phi}{dt} \Big|_{t=t_k} = 0$$

Выявим условия, когда функция  $\Phi|_{t=0} \leq 0$ , при этом  $\rho_0 = \rho_k = \rho_1$ .

Анализ общего решения уравнений движения на первом и втором этапах позволяет заключить, что для выполнения неравенства  $\Phi_0 \leq 0$  необходимо

$$B \geq \frac{(H_1 + k \rho_1 v_0^2) (t_k^2 - \delta^2)}{2F} > 0, \quad H_1 = B + A \rho_1 > 0 \quad (4.3)$$

$$F = \int_0^{\delta} \tau \exp \left( E k \rho_1 \frac{\tau^3}{6} \right) d\tau + \dots + \exp \left( -E k \rho_1 \frac{\delta^3}{3} \right) \int_0^{t_k} \tau \exp \left( E k \rho_1 \delta^2 \frac{\tau}{2} \right) d\tau$$

Если  $B < 0$ , то условие (4.3) заведомо нарушается и, следовательно, оптимальной становится двухслойная пластина с лицевым твердым слоем  $\rho_0 = \rho_2$ . Более того, двухслойная пластина будет оставаться оптимальной и для некоторых положительных значений  $B$ , не удовлетворяющих неравенству (4.3). Производя оценку правой части этого неравенства, найдем  $(H_1 + k \rho_1 v_0^2) (t_k^2 - \delta^2) / (2F) \sim t_k$ .

Время окончания процесса при  $\rho = \text{const}$ :

$$t_k = \sqrt[3]{\delta} + (2/E k \rho_1 \delta^2) \ln(1 + v_0^2 k \rho_1 / H_1)$$

Таким образом, с ростом начальной скорости внедрения  $v_0$  время окончания процесса  $t_k$  возрастает пропорционально  $\ln v_0^2$ , что определяет соот-

ветствующий рост нижней границы области параметра  $B$ , на которой справедливо условие  $\rho_0 = \rho_1 = \text{const}$ .

Объединяя результаты настоящего и предыдущего пунктов, получим области значений параметра  $B$ , определяющие структуру оптимальной пластины с учетом начальной скорости внедрения (см. фиг. 3). Нижней, незаштрихованной области фиг. 3 соответствует оптимальное управление  $\rho_0 = \rho_2$  при  $t \leq t_*$ ,  $\rho_0 = \rho_1$  при  $t > t_*$  ( $0 < t_* < t_k$ ).

В заключение рассмотрим физический смысл параметра  $B$ , от значения которого (прежде всего от его знака) зависит оптимальная структура пластины. Выражение для  $B$  из (1.3) можно представить в виде

$$B = \rho_1 \rho_2 (H_1 / \rho_1 - H_2 / \rho_2) / (\rho_2 - \rho_1)$$

Так как  $\rho_2 - \rho_1 > 0$ , то знак определяется выражением, стоящим в круглых скобках. Величина  $H_d/\rho$  представляет собой динамическую твердость материала пластины, приходящуюся на единицу массы (удельная твердость), и является характеристикой качества материала в смысле, соответствующем данной постановке задачи. Условие  $B > 0$  говорит о более высоком качестве материала с характеристиками  $\rho_1$ ,  $H_1$ , среди всех материалов с качеством  $H_d(\rho)/\rho$ ,  $\forall \rho \in [\rho_1, \rho_2]$ . Обратно, неравенство  $B < 0$  дает максимальное качество материалу со свойствами  $\rho_2$ ,  $H_2$ . При  $B = 0$   $H_d(\rho)/\rho = A = \text{const}$ , т. е. все материалы обладают одинаковым качеством — удельной динамической твердостью.

Исследование задач в пп. 3, 4 позволяет сделать вывод, что оптимальная пластина может объединять материалы с различным качеством, и это приводит к наилучшему результату для всего процесса в целом. Показано, что форма твердого тела оказывает существенное влияние на оптимальную структуру пластины.

#### ЛИТЕРАТУРА

1. Аптуков В. Н., Поздеев А. А. Некоторые минимаксные задачи технологии и прочности конструкций. — Изв. АН СССР. Техн. кибернетика, 1982, № 4, с. 47–55.
2. Витман Ф. Ф., Степанов В. А. Влияние скорости деформирования на сопротивление деформированию металлов при скоростях удара  $10^2$ – $10^3$  м/с. — В кн.: Некоторые проблемы прочности твердого тела. М.—Л.: Изд-во АН СССР, 1959, с. 207–221.
3. Баллистические установки и их применение в экспериментальных исследованиях. / Под ред. Златина Н. А. и Мишина Г. И. М.: Наука, 1974. 344 с.
4. Бельский Е. И., Дмитрович А. М., Ложечников Е. Б. Новые материалы в технике. Минск: Беларусь, 1971. 271 с.
5. Понтиагин Л. С., Болтянский В. Г., Гамкрелидзе Р. М., Мищенко Е. Ф. Математическая теория оптимальных процессов. М.: Наука, 1969. 384 с.

Пермь

Поступила в редакцию  
27.II.1984